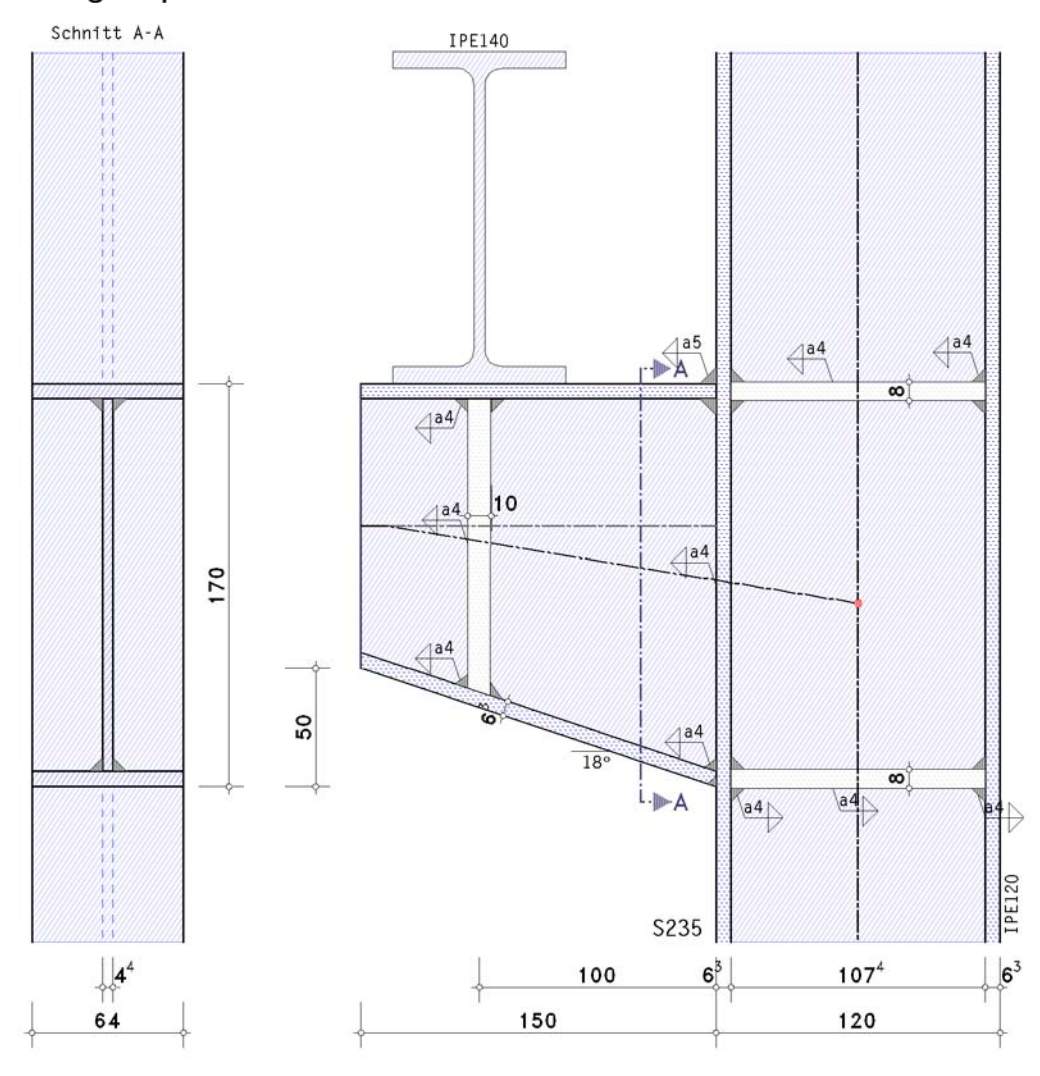
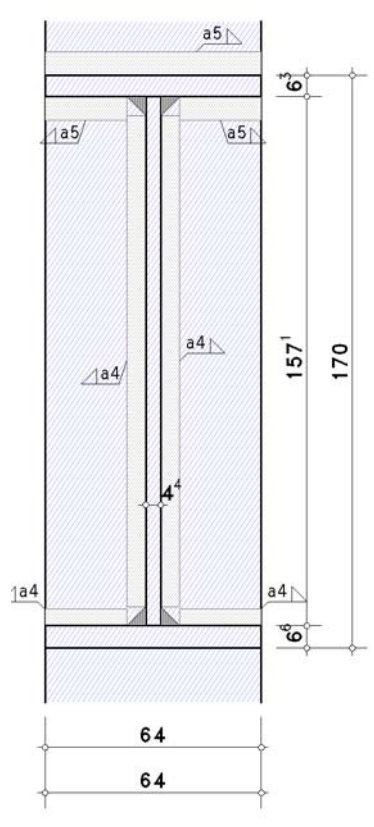
Konsole EC 3-1-8 (12.10), NA: Deutschland

4H-EC3SK Version: 6/2025-1b

1. Eingabeprotokoll





Stahlsorte

Stahlgüte S235

Parameter der Stütze

Profil IPE120

Verstärkung des Profils durch Quersteifen (Stegsteifen in Höhe von Trägerzug- und -druckflansch, det = 163.5 mm):

Dicke t_{st} = 8.0 mm, Breite b_{st} = 29.8 mm, Länge l_{st} = 107.4 mm

Aussparung an den Steifen cst = 10.5 mm

Schweißnähte ast,f = 4.0 mm, ast,w = 4.0 mm

Parameter des Trägers

Profilparameter (I-Profil):

Gesamthöhe h = 120.0 mm, Stegdicke tw = 4.4 mm

Flanschbreite bf = 64.0 mm, Flanschdicke tf = 6.3 mm

Kehlnaht a = 4.0 mm

geschweißtes Profil, Kehlnahtdicke a = 4.0 mm

Voute: Neigungswinkel gegen die Horizontale $\alpha_V = 18.43^{\circ}$

Länge der Voute $L_V = 150.0$ mm, Voutenhöhe im Anschluss $h_V = L_V \cdot (\tan(\alpha_V) - \tan(\alpha_D)) = 50.0$ mm

Gesamte Trägerhöhe im Anschluss hges = hb + hv = 170.0 mm

Verstärkung des Profils durch Quersteifen:

Dicke t_{st} = 10.0 mm, Breite b_{st} = 29.8 mm, Länge l_{st} = 107.4 mm

Aussparung an den Steifen cst = 8.5 mm

Schweißnähte ast,f = 4.0 mm, ast,w = 4.0 mm

Schweißnähte

Trägerflansch oben: Kehlnaht, Nahtdicke a = 5.0 mm

Trägersteg: Kehlnaht, Nahtdicke a = 4.0 mm

Trägerflansch unten: Kehlnaht, Nahtdicke a = 4.0 mm, Öffnungswinkel φ = 108°

75% der Druckspannung wird über Kontakt abgetragen

Parameter der Verbindung

geschweißter Anschluss

Abstand der Querbelastung $\Delta a = 100.0 \text{ mm}$

Nachweis der Lasteinleitung:

Querbelastung auf dem Obergurt der Konsole aus einem Lastträger (Trägerkreuzung) Profil IPE140 Nachweis der Ermüdung:

Schadensäquivalenzfaktoren $\lambda_{\sigma} = 1.000$, $\lambda_{\tau} = 1.000$

Ermittlung der Tragfähigkeiten

Nachweis der Konsole-Stützenverbindung, Grenzzustand der Tragfähigkeit (GZT)

Nachweis der Lasteinleitung, Trägerkreuzung, Grenzzustand der Tragfähigkeit (GZT)

Ermüdungsnachweise der Verbindung sowie des Konsolprofils, Grenzzustand der Ermüdung (GZE)

Konsolbelastung und Schnittgrößen im Schnittpunkt der Systemachsen (GZT)

Lk	F2,Ed
	kN
1	40.00

F2,Ed: Belastung der Konsole

Konsolbelastung (GZE)

Lk 	F2,Ed KN
1	5.00
2	15.00

F2,Ed: Belastung der Konsole

Materialsicherheitsbeiwerte (GZT)

Beanspruchbarkeit von Querschnitten $\gamma_{M0} = 1.00$

Beanspruchbarkeit von Bauteilen bei Stabilitätsversagen γM1 = 1.10

Beanspruchbarkeit von Schrauben, Schweißnähten, Blechen auf Lochleibung γ_{M2} = 1.25

Materialsicherheitsbeiwert (GZE)

Bemessungskonzept: Schadenstoleranz, Schadensfolgen: hoch ⇒ Ermüdungsfestigkeit γMf = 1.15

2. Nachweise

2.1. Ergebnistabelle (GZT)

2.1.1. Ausnutzungen

Lk	Uj	Uı	Uj,b	Uj,σ	Uj,τ	$U_{j,w}$	Uj,r	U1,σ	U1,r	U
1	0.434	0.616	0.434	0.381	0.303	0.258	0.324	0.616	0.453	0.616*

Uj: res. Ausnutzung aus Träger-Stütze-Anschluss; Ui: res. Ausnutzung aus Lasteinleitung; Uj.b: Querschnittsausnutzung Träger

 $U_{j,\sigma}$: Ausnutzung aus Biegung; $U_{j,\tau}$: Ausnutzung aus Querkraft; $U_{j,w}$: Ausnutzung aus Schweißnaht $U_{j,r}$: Ausnutzung aus Steifen/Rippen; $U_{l,\sigma}$: Ausnutzung aus Spannungen am Steganschnitt; $U_{l,r}$: Ausnutzung aus Rippen $U_{l,\sigma}$: Ausnutzung der Verbindung

*) maximale Ausnutzung

2.2. Anschluss an die Stütze (GZT)

Biegesteifer Trägeranschluss EC 3-1-8 (12.10), NA: Deutschland

Hinweise

Der Anschluss der Voute an den Träger wird nicht nachgewiesen.

Die Schweißnähte des geschweißten Profils werden nicht nachgewiesen.

Datencheck

ok

2.2.1. Ergebnistabelle

Ausnutzung

Lk	U _{o,b}	Um	U_{wp}	U_{cf}	U_{sb}	Uss	U
1	0.434	0.381	0.303	0.256	0.258	0.324	0.434*

 $U_{\sigma,b}$: Spannungsausnutzung am Träger; U_m : Ausnutzung aus Biegung; U_{wp} : Ausnutzung aus Schub im Stützensteg $\mathsf{U}_{ exttt{cf:}}$ Ausnutzung aus Schub im Stützenflansch; $\mathsf{U}_{ exttt{sb:}}$ Ausnutzung aus Schweißnaht; $\mathsf{U}_{ exttt{ss:}}$ Ausnutzung aus Steifen/Rippen U: Ausnutzung der Verbindung

2.2.2. Endergebnis

Maximale Ausnutzung: max U = 0.434 < 1 ok

2.2.3. Lk 1 (maßgebend)

2.2.3.1. Bemessungsgrößen

Knotenschnittgrößen Anschnitt Anschluss ⊥ zur Anschlussebene

Teilschnittgrößen

Neigungswinkel: $\alpha_b = 0.00^\circ$, $\alpha_V = 18.43^\circ \Rightarrow \alpha = (\alpha_b + \alpha_V)/2 = 9.22^\circ$ Abstände: $e_1 = 60.0 \text{ mm}$, $e_3 = 83.9 \text{ mm}$, $e_2 = 74.2 \text{ mm}$, $e_6 = 163.5 \text{ mm}$

Schnittgrößen senkrecht zu den Anschlussebenen



^{*)} maximale Ausnutzung

Anschnitt Träger $N_d = -12.65 \text{ kN}, M_d = 4.00 \text{ kNm}, V_d = 37.95 \text{ kN}$

Teilschnittgrößen

```
N_{b,t} = -N_{d} \cdot z_{bu}/z_{b} + M_{d}/z_{b} = 30.70 \text{ kN}, z_{b} = 163.5 \text{ mm}, z_{bu} = 80.6 \text{ mm}
N_{b,c} = (N_d \cdot z_{bo}/z_b + M_d/z_b) / \cos(\alpha_V) = 19.02 \text{ kN}, z_b = 163.5 \text{ mm}, z_{bo} = 82.9 \text{ mm}
V_{b,t} = -N_{b,t} \cdot \sin(\alpha_b) = 0.00 \text{ kN}, \ V_{b,c} = N_{b,c} \cdot \sin(\alpha_v) = 6.02 \text{ kN}, \ V_{b,w} = V_d \cdot V_{b,t} \cdot V_{b,c} = 31.93 \text{ kN}
```

2.2.3.2. Querschnittstragfähigkeit im Anschnitt

```
elastischer Spannungsnachweis für N = 12.65 kN, M<sub>V</sub> = -4.00 kNm, V<sub>z</sub> = 37.95 kN
Nachweis: \sigma_V = 102.01 \text{ N/mm}^2 < \sigma_{V,Rd} = 235.00 \text{ N/mm}^2 \Rightarrow U_{\sigma} = 0.434 < 1 \text{ ok}
c/t-Verhältnis: einseitig gestützt: Ausnutzung Uc/t = 0.112 < 1 ok
                 beidseitig gestützt: Ausnutzung Uc/t = 0.110 < 1 ok
```

2.2.3.3. Anschlusstragfähigkeit

Übertragungsparameter: β¡ = 1.00

2.2.3.3.1. Biegetragfähigkeit

Abstand der Zugkraft vom Druckpunkt: z = 163.5 mm

Tragfähigkeit

 $F_{Rd} = 80.6 \text{ kN}$

Tragfähigkeit der Flansche (Druck)

 $\Sigma F_{c,Rd}^* = 161.3 \text{ kN}$

Biegetragfähigkeit

 $M_{j,Rd} = F_{Rd} \cdot z = 13.2 \text{ kNm}$ Zugtragfähigkeit $N_{i,t,Rd} = F_{t,Rd} = 120.3 \text{ kN}$ Drucktragfähigkeit

 $N_{i,c,Rd} = \Sigma F_{c,Rd}^* = 161.3 \text{ kN}$

2.2.3.3.2. Schubtragfähigkeit

Schubtragfähigkeit des Stützenflanschs $V_{cf,Rd} = 124.58 \text{ kN}$ Schubtragfähigkeit des Stützenstegs $V_{wp,Rd} = 80.6 \text{ kN}$

2.2.3.3.3. Gesamt

```
M_{j,Rd} = 13.2 \text{ kNm } N_{j,t,Rd} = 120.3 \text{ kN } N_{j,c,Rd} = 161.3 \text{ kN } V_{wp,Rd} = 80.6 \text{ kN } V_{cf,Rd} = 124.6 \text{ kN}
```

2.2.3.4. Nachweise

2.2.3.4.1. Nachweis der Anschlusstragfähigkeit mit der Komponentenmethode

```
N_{b,Ed} = |N_{d} \cdot cos(\alpha) + V_{d} \cdot sin(\alpha)| = 6.41 \text{ kN } < 5\% \cdot N_{pl,Rd} = 17.85 \text{ kN} \Rightarrow \text{Biegetragfähigkeit}
Normalkraft:
```

Biegemoment: $MEd = Md - Nd \cdot Zbu = 5.02 \text{ kNm}, Zbu = 80.6 \text{ mm}$

Querkraft: $V_{Ed} = |V_d| = 37.95 \text{ kN}$

 $V_{c,w,Ed} = M_d/z - (V_{c1}-V_{c2})/2 = 24.46 \text{ kN}, z = 163.5 \text{ mm}$ Schubkraft:

Schubkraft: $V_{b,w,Ed} = 31.93 \text{ kN}$

 $Med/M_{i,Rd} = 0.381 < 1 ok$ $V_{c,w,Ed}/V_{wp,Rd} = 0.303 < 1$ ok $V_{b,w,Ed}/V_{cf,Rd} = 0.256 < 1 \text{ ok}$

2.2.3.4.2. Nachweis der Schweißnähte am Trägerprofil

```
Naht 1: Trägerflansch mit Zug außen
                                           Nähte 2,3: Trägerflansch mit Zug innen
                                           Nähte 4,5: Trägersteg beidseitig
                                          Nähte 6,7: Trägerflansch mit Druck innen
Naht 8: Trägerflansch mit Druck außen
Naht 1: Nahtdicke a = 5.0 mm > a<sub>max</sub> = 0.7·t<sub>min</sub> = 4.4 mm (Schweisstechnik, s. DIN 18800) !!
Naht 2: Nahtdicke a = 5.0 mm > a<sub>max</sub> = 0.7·t<sub>min</sub> = 4.4 mm (Schweisstechnik, s. DIN 18800) !!
Naht 2: wirksame Nahtlänge leff = 24.1 mm < 30 mm ⇒ statisch nicht wirksam !!
Naht 2: wirksame Nahtlänge leff = 24.1 mm < 6·a = 30.0 mm ⇒ statisch nicht wirksam !!
Naht 4: Nahtdicke a = 4.0 mm > a<sub>max</sub> = 0.7·t<sub>min</sub> = 3.1 mm (Schweisstechnik, s. DIN 18800) !!
Naht 6: wirksame Nahtlänge leff = 24.1 mm < 30 mm ⇒ statisch nicht wirksam !!
```

Berechnungsquerschnitt:

```
Naht 1:
                                       a_{w} = 5.0 \text{ mm}
                                                               l_w = 64.0 \text{ mm}
                          Naht 4:
                                       a_{w} = 4.0 \text{ mm}
                                                              l_w = 145.7 \text{ mm}
                          Naht 5:
                                       siehe Naht 4
                          Naht 8: a_W = 4.0 \text{ mm}
                                                               l_w = 64.0 \text{ mm}
Bemessungsgrößen bezogen auf den Schwerpunkt des Profils:
N_{Ed} = 12.65 \text{ kN}, M_{y,Ed} = -4.00 \text{ kNm}, V_{z,Ed} = 37.95 \text{ kN}
Querschnittswerte bezogen auf den Schwerpunkt des Linienquerschnitts:
\Sigma A_W = 17.42 \text{ cm}^2, A_{W,z} = 11.66 \text{ cm}^2, \Sigma I_W = 41.9 \text{ cm}
I_{w,y} = 620.73 \text{ cm}^4, I_{w,z} = 20.23 \text{ cm}^4, \Delta z_w = -4.3 \text{ mm}
Nachweise in den Endpunkten der Nähte:
75% Spannungsabtrag über Druckkontakt
Naht 1, Pkt. 0: \sigma_{w,x} = 59.95 \text{ N/mm}^2
                                                                                             \Rightarrow U<sub>w</sub> = 0.236 < 1 ok
             Pkt. 0: \sigma_{w,x} = 52.24 \text{ N/mm}^2
                                                           \tau_{W,z} = 32.55 \text{ N/mm}^2
                                                                                            \Rightarrow U<sub>w</sub> = 0.258 < 1 ok
Naht 4.
              Pkt. 1: \sigma_{w,x} = -10.42 \text{ N/mm}^2
                                                                                            \Rightarrow U<sub>w</sub> = 0.162 < 1 ok
                                                           \tau_{W,z} = 32.55 \text{ N/mm}^2
             Pkt. 0: \sigma_{w,x} = -12.40 \text{ N/mm}^2
                                                                                             \Rightarrow U<sub>w</sub> = 0.049 < 1 ok
Naht 8,
Ergebnis:
Naht 4,
            Pkt. 0: \sigma_{w,x} = 52.24 \text{ N/mm}^2
                                                           \tau_{W,z} = 32.55 \text{ N/mm}^2
Max:
              \sigma_{1,w,Ed} = 92.93 \text{ N/mm}^2 < f_{1w,d} = 360.00 \text{ N/mm}^2
              \sigma_{2,w,Ed} = 36.94 \text{ N/mm}^2 < f_{2w,d} = 259.20 \text{ N/mm}^2 \Rightarrow U_w = 0.258 < 1 \text{ ok}
Nachweis der Umlenkkräfte (richtungsbezogenes Verfahren)
Schweißnähte Druckflansch
Druckkraft Nb,c = 4.8 kN
Schweißnahtwinkel \varphi = 108.4^{\circ}:
\sigma_{1,w,Ed} = 13.74 \text{ N/mm}^2 < f_{1w,d} = 360.00 \text{ N/mm}^2 \implies U = 0.038 < 1 \text{ ok}
\sigma_{2,w,Ed} = 8.59 \text{ N/mm}^2 < f_{2w,d} = 259.20 \text{ N/mm}^2 \Rightarrow U = 0.033 < 1 \text{ ok}
Schweißnahtwinkel \varphi = 71.6^{\circ}:
\sigma_{1,w,Ed} = 16.12 \text{ N/mm}^2 < f_{1w,d} = 360.00 \text{ N/mm}^2 \Rightarrow U = 0.045 < 1 \text{ ok}
\sigma_{2,w,Ed} = 6.19 \text{ N/mm}^2 < f_{2w,d} = 259.20 \text{ N/mm}^2 \Rightarrow U = 0.024 < 1 \text{ ok}
2.2.3.4.3. Nachweis der Stegsteifen
Drucksteife (unten)
F_{c,Ed} = 18.78 \text{ kN}
Kräfte je Rippe
F = 0.5 \cdot F_{c,Ed} \cdot (b_f - 2 \cdot r \cdot t_w)/b_f = 6.69 \text{ kN}, H = F \cdot e_f/e_H = 1.26 \text{ kN}
Voraussetzung: Steifen nicht beulgefährdet: Q-Klasse 1 ≤ 3 ok
Querschnitt am Flansch
Drucktragfähigkeit Nc,Rd = (A·fy) / yM0 = 36.28 kN
Bemessungsgröße: F_{Ed} = (F^2 + 3 \cdot H^2)^{1/2} = 7.03 \text{ kN}
F_{Ed} = 7.03 \text{ kN} < F_{Rd} = 36.28 \text{ kN} \implies U = 0.194 < 1 \text{ ok}
Querschnitt am Steg
Schubtragfähigkeit V_{Rd} = (A_v \cdot f_y) / (3^{1/2} \cdot \gamma_{M0}) = 93.78 \text{ kN}
Bemessungsgröße: F_{Ed} = F = 6.69 \text{ kN}
F_{Ed} = 6.69 \text{ kN} < F_{Rd} = 93.78 \text{ kN} \implies U = 0.071 < 1 \text{ ok}
Schweißnähte am Flansch
Bemessungsgrößen: F_{Ed}(\sigma_8) = F / (2 \cdot b_1) = 173.32 \text{ kN/m}, F_{Ed}(\tau_p) = H / (2 \cdot b_1) = 32.52 \text{ kN/m}, b_1 = 19.3 \text{ mm}
75% Spannungsabtrag über Druckkontakt
\sigma_{1,w,Ed} = 11.39 \text{ N/mm}^2 < f_{1w,d} = 360.00 \text{ N/mm}^2 \Rightarrow U = 0.032 < 1 \text{ ok}
\sigma_{2,w,Ed} = 10.83 \text{ N/mm}^2 < f_{2w,d} = 259.20 \text{ N/mm}^2 \implies U = 0.042 < 1 \text{ ok}
Schweißnähte am Steg
Bemessungsgröße: F_{Ed}(\tau_p) = F / (2 \cdot l_1) = 38.72 \text{ kN/m}, l_1 = 86.4 \text{ mm}
75% Spannungsabtrag über Druckkontakt
Nahtdicke a = 4.0 mm > a<sub>max</sub> = 0.7·t<sub>min</sub> = 3.1 mm (Schweisstechnik, s. DIN 18800) !!
\sigma_{1,w,Ed} = 4.19 \text{ N/mm}^2 < f_{1w,d} = 360.00 \text{ N/mm}^2 \implies U = 0.012 < 1 \text{ ok}
Zugsteife (oben)
F_{t,Ed} = 31.43 \text{ kN}
Kräfte je Rippe
F = 0.5 \cdot F_{t,Ed} \cdot (b_{f-2} \cdot r - t_{w})/b_{f} = 11.20 \text{ kN}, H = F \cdot e_{F}/e_{H} = 2.10 \text{ kN}
Querschnitt am Flansch
Zugtragfähigkeit Nt,Rd = 36.28 kN
Bemessungsgröße: F_{Ed} = (F^2 + 3 \cdot H^2)^{1/2} = 11.77 \text{ kN}
F_{Ed} = 11.77 \text{ kN} < F_{Rd} = 36.28 \text{ kN} \implies U = 0.324 < 1 \text{ ok}
```

Querschnitt am Steg

Schubtragfähigkeit $V_{Rd} = (A_v \cdot f_v) / (3^{1/2} \cdot \gamma_{M0}) = 93.78 \text{ kN}$

Bemessungsgröße: $F_{Ed} = F = 11.20 \text{ kN}$

 $F_{Ed} = 11.20 \text{ kN} < F_{Rd} = 93.78 \text{ kN} \implies U = 0.119 < 1 \text{ ok}$

Schweißnähte am Flansch

Bemessungsgrößen: $F_{Ed}(\sigma_s) = F / (2 \cdot b_1) = 290.06 \text{ kN/m}, F_{Ed}(\tau_p) = H / (2 \cdot b_1) = 54.42 \text{ kN/m}, b_1 = 19.3 \text{ mm}$

 $\sigma_{1,w,Ed} = 76.25 \text{ N/mm}^2 < f_{1w,d} = 360.00 \text{ N/mm}^2 \Rightarrow U = 0.212 < 1 \text{ ok}$ $\sigma_{2,w,Ed} = 72.51 \text{ N/mm}^2 < f_{2w,d} = 259.20 \text{ N/mm}^2 \Rightarrow U = 0.280 < 1 \text{ ok}$

Schweißnähte am Steg

Bemessungsgröße: $F_{Ed}(\tau_p) = F / (2 \cdot l_1) = 64.79 \text{ kN/m}, l_1 = 86.4 \text{ mm}$

Nahtdicke $a = 4.0 \text{ mm} > a_{\text{max}} = 0.7 \cdot t_{\text{min}} = 3.1 \text{ mm}$ (Schweisstechnik, s. DIN 18800) !!

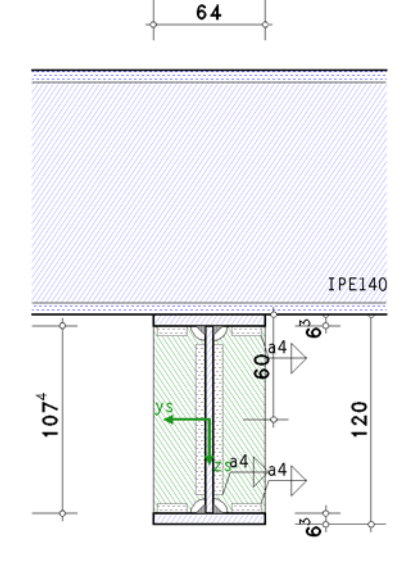
 $\sigma_{1,w,Ed} = 28.06 \ N/mm^2 \ < \ f_{1w,d} = 360.00 \ N/mm^2 \ \Rightarrow \ U = 0.078 \ < \ 1 \ \ ok$

2.2.3.4.4. Nachweisergebnis

Maximale Ausnutzung: max U = 0.434 < 1 ok

2.3. Lasteinleitung in die Konsole (GZT)

Sonderprobleme nach Eurocode 3 EC 3-1-5 (10.19), NA: Deutschland



Voraussetzung: Flanschinduziertes Stegbeulen ist ausgeschlossen.

Voraussetzung: Platten-/Schubbeulen ist ausgeschlossen.

Voraussetzung: Quersteifen dienen als starre Lagerung des Blechfelds.

Voraussetzung: Lokales Beulen der Steifen ist ausgeschlossen.

2.3.1. Ergebnistabelle

LK	⊢ r,Ed	NEd	V Ed	Ur	Uσ	U
	kN	kΝ	kΝ			
1	40.00	6.41	39.48	0.453	0.616	0.616*

Fz,Ed: vertikale Einzellast aus einem Lastträger; NEd,VEd: Bemessungsgrößen im Querschnitt; Ur: Ausnutzung aus Rippen U_{σ} : Ausnutzung aus Spannungen am Steganschnitt; U: Ausnutzung aus Lasteinleitung

*) maximale Ausnutzung

2.3.2. Endergebnis

Maximale Ausnutzung [Lk 1]: max U = 0.616 < 1 ok

2.3.3. Lk 1 (maßgebend)

Querschnittswerte: $A = 12.79 \text{ cm}^2$, $z_s = 60.0 \text{ mm}$, $l_v = 306.31 \text{ cm}^4$, $y_s = 0.0 \text{ mm}$, $l_z = 27.60 \text{ cm}^4$

Lasteinzugsbreite durch den Träger $s_s' = 2 \cdot t_f + t_w + 2.828 \cdot a_w = 28.3 \text{ mm}$

Lasteinzugslänge durch den Lastträger ss = 2·tf + tw + 1.172·r = 26.7 mm

Zur Info: Lagerpressung Fz,Ed,GZT/(Ss·Ss') = 52.91 N/mm²

wirksame Lasteinleitungslänge leff = ss + 2·tf = 39.3 mm

Länge der starren Lasteinleitung:

bezogen auf die Flanschaußenkante ss = leff - 2·tf = 26.7 mm / auf den Steganschnitt sw = leff = 39.3 mm

2.3.3.1. Stegpressung (GZT)

zulässige Spannungen: $\sigma_{Rd} = f_y/\gamma_{M0} = 235.0 \text{ N/mm}^2$, $\tau_{Rd} = f_y/(3^{1/2}.\gamma_{M0}) = 135.7 \text{ N/mm}^2$

Lastübertragung durch Quersteifen (Rippen):

Kräfte je Rippe

 $F = 0.5 \cdot F_{c,Ed} = 20.00 \text{ kN}, H = F \cdot e_{F/eH} = 3.56 \text{ kN}$

Voraussetzung: Steifen nicht beulgefährdet: Q-Klasse 1 ≤ 3 ok

Hinweis: b_R > 25.8 mm ⇒ Umschweißung nicht möglich, auf Korrosionsschutz achten !!

Querschnitt am Flansch

Drucktragfähigkeit Nc.Rd = (A·fy) / yM0 = 50.09 kN Bemessungsgröße: $F_{Ed} = (F^2 + 3 \cdot H^2)^{1/2} = 20.93 \text{ kN}$ $F_{Ed} = 20.93 \text{ kN} < F_{Rd} = 50.09 \text{ kN} \implies U = 0.418 < 1 \text{ ok}$

Querschnitt am Steg

Schubtragfähigkeit V_{Rd} = (A_V·f_y) / (3^{1/2}·γ_{M0}) = 122.69 kN

Bemessungsgröße: FEd = F = 20.00 kN

 $F_{Ed} = 20.00 \text{ kN} < F_{Rd} = 122.69 \text{ kN} \Rightarrow U = 0.163 < 1 \text{ ok}$

Schweißnähte am Flansch

Bemessungsgrößen: $F_{Ed}(\sigma_s) = F / (2 \cdot b_1) = 469.16 \text{ kN/m}, \quad F_{Ed}(\tau_p) = H / (2 \cdot b_1) = 83.62 \text{ kN/m}, \quad b_1 = 21.3 \text{ mm}$ $\sigma_{1,w,Ed} = 122.75 \text{ N/mm}^2 < f_{1w,d} = 360.00 \text{ N/mm}^2 \Rightarrow U = 0.341 < 1 \text{ ok}$

 $\sigma_{2,w,Ed} = 117.29 \text{ N/mm}^2 < f_{2w,d} = 259.20 \text{ N/mm}^2 \Rightarrow U = 0.453 < 1 \text{ ok}$

Schweißnähte am Steg

Bemessungsgröße: $F_{Ed}(\tau_p) = F / (2 \cdot l_1) = 110.58 \text{ kN/m}, l_1 = 90.4 \text{ mm}$

Nahtdicke a = 4.0 mm > a_{max} = 0.7·t_{min} = 3.1 mm (Schweisstechnik, s. DIN 18800) !!

 $\sigma_{1,w,Ed} = 47.88 \text{ N/mm}^2 < f_{1w,d} = 360.00 \text{ N/mm}^2 \Rightarrow U = 0.133 < 1 \text{ ok}$

Gesamt: Ausnutzung der Rippen UR = 0.453 < 1 ok

Spannungen am Steganschnitt:

lokale Querspannungen σoz,Ed = 0 N/mm²

Lk 1: NEd = 6.4 kN, $V_{z,Ed} = 39.5 kN$

Spannungen $\sigma_{x,Ed} = 5.0 \text{ N/mm}^2$, $\tau_{xz,Ed} = 83.6 \text{ N/mm}^2$

 $|\sigma_{x,Ed}| = 5.0 \text{ N/mm}^2 < \sigma_{Rd} = 235.0 \text{ N/mm}^2 \Rightarrow U = 0.021 < 1 \text{ ok}$

 $|\tau_{XZ,Ed}| = 83.6 \text{ N/mm}^2 < \tau_{Rd} = 135.7 \text{ N/mm}^2 \implies U = 0.616 < 1 \text{ ok}$

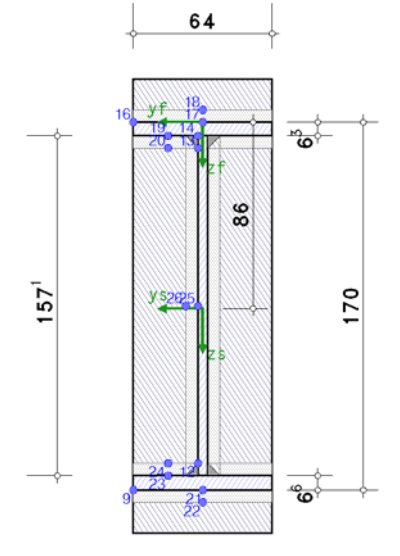
 $\sigma_V = 144.8 \ N/mm^2 \ < \ \sigma_{Rd} = 235.0 \ N/mm^2 \ \Rightarrow \ U = 0.616 \ < \ 1 \ ok$

Ausnutzung am Steganschnitt max $U_{\sigma} = 0.616 < 1$ ok

Maximale Ausnutzung: max U = 0.616 < 1 ok

2.4. Ermüdung der Verbindung Konsole-Stütze (GZE)

Sonderprobleme nach Eurocode 3 EC 3-1-9 (12.10), NA: Deutschland



Kerbfälle / zul. Kerbspannungen bei N = 2·106 Schwingspielen:

Pkt	Уf	Zf	Δσx,Rd	∆ τ Rd	Δσz,Rd	Kerbpunkt	EC 3-1-9, Tab.
	mm	mm	N/mm²	N/mm^2	N/mm²		
9	32.0	170.0	160.0	0.0	0.0	am Untergurt	8.1(1)
12	2.2	157.7	100.0	100.0	0.0	am Trägersteg	8.2(7) 8.1(6)
13	2.2	12.0	100.0	100.0	40.0	am Trägersteg	8.2(7) 8.1(6) 8.10(4)*
° 14	2.2	6.3	0.0	80.0	0.0	am Trägersteg	8.5(8)
16	32.0	0.0	160.0	0.0	0.0	am Obergurt	8.1(1)
° 17	0.0	0.0	36.0	0.0	0.0	am Blech (Obergurt)	8.5(3)
18	0.0	-5.7	80.0	0.0	0.0	am Blech (Obergurt)	8.5(1)

Kerbfälle / zul. Kerbspannungen bei N = 2·10⁶ Schwingspielen:

Pkt	Уf	Zf	Δσx,Rd	∆τ Rd	Δσz,Rd	Kerbpunkt	EC 3-1-9, Tab.
	mm	mm	N/mm^2	N/mm^2	N/mm²		
° 19	16.0	6.3	36.0	0.0	0.0	am Blech (Obergurt)	8.5(3)
20	16.0	12.0	80.0	0.0	0.0	am Blech (Obergurt)	8.5(1)
° 21	0.0	170.0	36.0	0.0	0.0	am Blech (Untergurt)	8.5(3)
22	0.0	175.7	80.0	0.0	0.0	am Blech (Untergurt)	8.5(1)
° 23	16.0	163.4	36.0	0.0	0.0	am Blech (Untergurt)	8.5(3)
24	16.0	157.7	80.0	0.0	0.0	am Blech (Untergurt)	8.5(1)
° 25	2.2	85.0	36.0	80.0	0.0	am Blech (Steg)	8.5(3) 8.5(8)
26	7.9	85.0	0.0	100.0	0.0	am Blech (Steg)	8.2(5)

^{°:} Nachweis der Schweißnaht, *: Kerbspannung $\Delta \sigma_{Z,Rd}$ um eine Kategorie erhöht

Belastung

Lk 1: $M_{V,Ed} = -0.50 \text{ kNm}, V_{z,Ed} = 5.00 \text{ kN}$ Lk 2: $M_{y,Ed} = -1.49 \text{ kNm}, V_{z,Ed} = 15.00 \text{ kN}$

2.4.1. Ermüdungsnachweis

Querschnittswerte: $A = 15.19 \text{ cm}^2$, $z_s = 86.0 \text{ mm}$, $l_y = 695.85 \text{ cm}^4$, $y_s = 0.0 \text{ mm}$, $l_z = 28.38 \text{ cm}^4$

Spannungsschwingbreiten:

Pkt. 21: $y_f = 0.0 \text{ mm}, z_f = 170.0 \text{ mm}$ $\Delta \sigma_{x,Ed} = 13.2 \text{ N/mm}^2$

Spannungsschwingbreiten infolge Ermüdung:

Pkt. 21: $y_f = 0.0 \text{ mm}, z_f = 170.0 \text{ mm}$ $\Delta \sigma_{x,f} = 13.2 \text{ N/mm}^2$

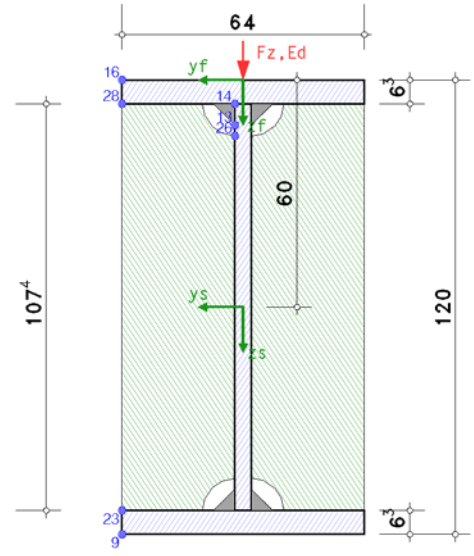
Nachweis der Kerbspannungen:

Pkt. 21: y = 0.0 mm, z = 170.0 mm $\Delta \sigma_{x,f} = 13.2 \text{ N/mm}^2 < \Delta \sigma_{x,Rd,f} = 31.3 \text{ N/mm}^2 \implies U_{\Delta \sigma x} = 0.421 \text{ ok}$

Ermüdungsnachweis [Pkt. 21]: max U = 0.421 < 1 ok

2.5. Ermüdung des Konsolprofils (GZE)

Sonderprobleme nach Eurocode 3 EC 3-1-9 (12.10), NA: Deutschland



Kerbfälle / zul. Kerbspannungen bei N = 2·10⁶ Schwingspielen:

Pkt	Уf	Zf	Δισx,Rd	Δau Rd	∆o z,Rd	Kerbpunkt	EC 3-1-9, Tab.
	mm	mm	N/mm^2	N/mm^2	N/mm²		
9	32.0	120.0	160.0	0.0	0.0	am Untergurt	8.1(1)
13	2.2	12.0	100.0	100.0	40.0	am Trägersteg	8.2(7) 8.1(6) 8.10(4)*
° 14	2.2	6.3	0.0	80.0	0.0	am Trägersteg	8.5(8)
16	32.0	0.0	160.0	0.0	0.0	am Obergurt	8.1(1)
23	32.0	113.7	80.0	0.0	0.0	infolge Quersteife	8.4(7)
26	2.2	14.8	0.0	100.0	0.0	infolge Quersteife	8.1(6)
28	32.0	6.3	80.0	0.0	0.0	infolge Quersteife	8.4(7)

^{°:} Nachweis der Schweißnaht, *: Kerbspannung Δσz,Rd um eine Kategorie erhöht

Belastung

Lk 1: $M_{V,Ed} = 0.01 \text{ kNm}, V_{z,Ed} = 5.00 \text{ kN}$ Lk 2: $M_{v,Ed} = 0.03 \text{ kNm}, V_{z,Ed} = 15.00 \text{ kN}$

Querbelastung auf dem Obergurt: vertikale Einzellast Fz,Ed = 15.0 kN

2.5.1. Ermüdungsnachweis

Querschnittswerte: $A = 12.79 \text{ cm}^2$, $z_s = 60.0 \text{ mm}$, $l_y = 306.31 \text{ cm}^4$, $y_s = 0.0 \text{ mm}$, $l_z = 27.60 \text{ cm}^4$

wirksame Lasteinleitungslänge leff = ss + 2·tf = 39.3 mm

... am Trägersteg σ_{oz} = -86.7 N/mm², τ_{o} = 17.3 N/mm² / ... an der Schweißnaht σ_{oz} = -47.7 N/mm², τ_{o} = 9.5 N/mm²

Spannungsschwingbreiten:

Pkt. 13: $v_f = 2.2 \text{ mm}, z_f = 12.0 \text{ mm}$ $\Delta \sigma_{x,Ed} = 0.3 \text{ N/mm}^2$ $\Delta \tau Ed = 52.7 \text{ N/mm}^2$ $\Delta \sigma_{z,Ed} = 86.7 \text{ N/mm}^2$

Spannungsschwingbreiten infolge Ermüdung:

Pkt. 13: $v_f = 2.2 \text{ mm}, z_f = 12.0 \text{ mm}$ $\Delta \sigma_{x,f} = 0.3 \text{ N/mm}^2$ $\Delta \tau_f = 52.7 \text{ N/mm}^2$ $\Delta \sigma_{z,f} = 86.7 \text{ N/mm}^2$

Nachweis der Kerbspannungen:

Pkt. 13: y = 2.2 mm, z = 12.0 mm $\Delta \sigma_{x,f} = 0.3 \text{ N/mm}^2 < \Delta \sigma_{x,Rd,f} = 87.0 \text{ N/mm}^2$ \Rightarrow $U_{\Delta\sigma x} = 0.004$ ok

 \Rightarrow $U_{\Delta\tau} = 0.606$ ok $\Delta \tau_f = 52.7 \text{ N/mm}^2 < \Delta \tau_{Rd,f} = 87.0 \text{ N/mm}^2$

 $\Delta \sigma_{z,f} = 86.7 \text{ N/mm}^2 > \Delta \sigma_{z,Rd,f} = 34.8 \text{ N/mm}^2 \Rightarrow U_{\Delta \sigma z} = 2.494 \text{ nicht ok !!}$

Interaction $U_i = U_{\Delta\sigma x}^3 + U_{\Delta\sigma z}^3 + U_{\Delta\tau}^5 = 15.592 > 1$ nicht ok!!

Ermüdungsnachweis [Pkt. 13]: max U = 2.494 > 1 nicht ok!!

Endergebnis

Maximale Ausnutzung: max U = 2.494 > 1 nicht ok!!

Ermüdung der Verbindung / des Profils

Tragfähigkeit nicht gewährleistet !!

4. Vorschriften

EN 1990, Eurocode 0: Grundlagen der Tragwerksplanung;

Deutsche Fassung EN 1990:2002 + A1:2005 + A1:2005/AC:2010, Ausgabe Dezember 2010

EN 1990/NA, Nationaler Anhang zur EN 1990, Ausgabe Dezember 2010

EN 1993-1-1, Eurocode 3: Bemessung und Konstruktion von Stahlbauten -

Teil 1-1: Allgemeine Bemessungsregeln und Regeln für den Hochbau;

Deutsche Fassung EN 1993-1-1:2005 + AC:2009, Ausgabe Dezember 2010

EN 1993-1-1/A1, Ergänzungen zur EN 1993-1-1, Ausgabe Juli 2014

EN 1993-1-1/NA, Nationaler Anhang zur EN 1993-1-1, Ausgabe Dezember 2018

EN 1993-1-8, Eurocode 3: Bemessung und Konstruktion von Stahlbauten -

Teil 1-8: Bemessung von Anschlüssen;

Deutsche Fassung EN 1993-1-8:2005 + AC:2009, Ausgabe Dezember 2010

EN 1993-1-8/NA, Nationaler Anhang zur EN 1993-1-8, Ausgabe Dezember 2010

EN 1993-1-5, Eurocode 3: Bemessung und Konstruktion von Stahlbauten - Teil 1-5: Plattenförmige Bauteile;

Deutsche Fassung EN 1993-1-5:2006 + AC:2009 + A1:2017 + A2:2019, Ausgabe Oktober 2019

EN 1993-1-5/NA, Nationaler Anhang zur EN 1993-1-5, Ausgabe Dezember 2010

EN 1993-1-9, Eurocode 3: Bemessung und Konstruktion von Stahlbauten - Teil 1-9: Ermüdung;

Deutsche Fassung EN 1993-1-9:2006 + AC:2009, Ausgabe Dezember 2010

EN 1993-1-9/NA, Nationaler Anhang zur EN 1993-1-9, Ausgabe Dezember 2010